

# ANALIZA ELEKTROKEMIJSKEGA [UMA, GENERIRANEGA Z RAZLI^NIMI KOROZIJSKIMI PROCESI

## ANALYSIS OF ELECTROCHEMICAL NOISE GENERATED BY DIFFERENT CORROSION PROCESSES

MIRJAM LEBAN<sup>1</sup>, V. DOLE^EK<sup>1</sup>, A. LEGAT<sup>2</sup>, V. KUHAR<sup>2</sup>

<sup>1</sup>Fakulteta za kemijo in kemijsko tehnologijo, Univerza v Mariboru, Smetanova 17, 2000 Maribor, Slovenija

<sup>2</sup>Zavod za gradbeni{vo Slovenije, Ljubljana, Slovenija

Prejem rokopisa - received: 1997-10-01; sprejem za objavo - accepted for publication: 1997-12-19

Analizirali smo elektrokemijski {um, ki ga povzro-ijo koroziski procesi na povr{ini elektrod. Tokovni in napetostni {um, ki skupaj sestavlja elektrokemijski {um, sta bila merjena med tremi vzporedno postavljenimi elektrodami iz nerjavnega jekla AISI 302. Srednja - skupna elektroda, ki je bila z ostalima dvema povezana v tokovni in napetostni vir, je bila obremenjena s konstantno natezno silo. Elektrokemijski {um smo merili v vodnih raztopinah z razli-nimi koncentracijami NaCl in HCl. Med meritvami smo z ra-unalni{kim vizualizacijskim sistemom posneli spremembe na povr{ini elektrod, ter jih primerjali s posameznimi fluktuacijami elektrokemijskega {uma. Za karakterizacijo izmerjenih signalov, predvsem pa, da bi razlo-ili med posameznimi tipi korozije, smo uporabili razli-ne matemati-ne metode v frekven-nem (analiza spektralne gostote mo-i) in faznem prostoru (rekonstrukcija atraktorjev, dolo-itev fraktalne dimenziije in maksimalnega Lyapunovega eksponenta). Raziskava je pokazala, da z merjenjem elektrokemijskega {uma in njegovo analizo lahko lo-imo med splo{no korozijo, ter razli-nimi tipi lokalne korozije. Pri lokalnih oblikah korozije detektiramo preboje pasivnega filma, njegovo repasivacijo in rast jamic. Odkrijemo lahko tudi za-tek napetostno - koroziskskega pokanja, ne moremo pa oceniti hitrosti propagacije posameznih razpok, oziroma napovedati pretrga presku{anca.

Klju-ne besede: korozija, napetostno korozisko pokanje, elektrokemijski {um, ra-unalni{ki vizualizacijski sistem, spektralna analiza, kaoti-na analiza, fraktalne dimenziije, Lyapunov eksponent

In the present study the characteristics of electrochemical noise generated by different types of corrosion have been examined. The potential and current noise have been measured between three identical electrodes made from the same material (AISI 302) in aqueous solutions with different concentration of chlorides and/or additions of acid at the higher temperature. The common electrode was under tensile load. The optical microscope supported by a computer visualization technique was used simultaneously during the tests and compared with signals of electrochemical noise generated at the same time. In order to characterise the measured signals, and especially to distinguish between the signals of electrochemical noise generated by pitting corrosion, stress-corrosion cracking and uniform corrosion, various parameters known from the fractal theory and theory of chaos were estimated. It is concluded that the electrochemical noise measurements and analysis can distinguish between uniform corrosion and different types of localised corrosion. We can detect breakdown of passive film, repassivation and growth of stable pits. We can also detect the initiation of cracks, but we still cannot follow to the propagation of cracks.

Key words: corrosion, stress corrosion cracking, electrochemical noise, computer visualization technique, spectral analysis, chaos analysis, fractal dimensions, Lyapunov exponent

### 1 UVOD

[koda, ki jo povzro-a korozija v razli-nih kompleksnih industrijskih sistemih ter objektih potrjuje nujnost preventivnega merjenja in pravo-asno ukrepanje. Spremljanje hitrosti korozije kovin, ne da bi pri tem vedeli za vrsto koroziskskega napada, ne pove dovolj oziroma je lahko celo varljivo. Poznamo {tevilne uveljavljene metode za merjenje korozije (merjenje polarizacijskih krivulj, impedan-na spektroskopija), vendar ve-ina od njih posega v koroziskski sistem z zunanjim virom elektri-ne napetosti in tako lahko vpliva na koroziske procese. Za razliko od ve-ine elektrokemijskih metod za spremjanje korozije, kjer v koroziskski proces posegamo z zunanjim virom elektri-nega toka, so lastnosti elektrokemijskega {uma<sup>1-6</sup> odvisne samo od hitrosti in vrste korozije<sup>4-6</sup>. Medtem ko druge elektrokemijske metode omogo-ajo le dolo-itev osnovnih karakteristik koroziskskih procesov, pri elektrokemijskem {umu z meritvami in njegovo analizo lahko ugotovimo

tudi prehode med razli-nimi oblikami korozije. V zadnjih letih je bilo na tem podro-ju narejenih 'e veliko {tudij, vendar {e vedno ni enotne teorije o mehanizmu elektrokemijskega {uma in optimalnega matemati-nega modela, ki bi uspe{no povezel karakteristike elektrokemijskega {uma z vrsto in hitrostjo korozije.

Glavni namen na{ega dela je bil karakterizacija elektrokemijskega {uma, ki ga generira napetostna korozija, ter primerjava z elektrokemijskim {umom, ki ga generira drugi tipi korozije (jami-asta, splo{na korozija).

### 2 EKSPERIMENTALNO DELO

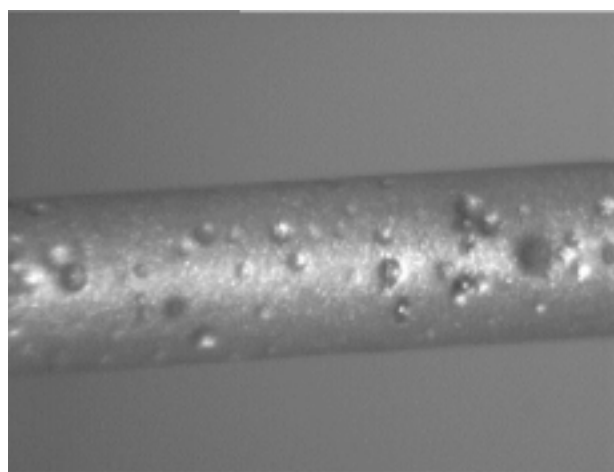
Elektrokemijski {um (tokovni in napetostni) smo merili v prosto korodirajo-em sistemu med tremi enakimi elektrodami iz nerjavnega jekla AISI 302. Preskuse smo izvajali pri dveh tipih elektrod: hladno valjani 'ici in epruvetah, izdelanih iz tanke plo-evine z jedkanjem. V obeh primerih je bila srednja elektroda natezno obremenjena (80% napetosti te-enja). Prosesu

korozije je bil izpostavljen le 5 mm dolg srednji del vsake elektrode, da smo lahko dogajanje na celotni prosti površini spremljali z vizualizacijskim sistemom. Druga površina je bila pred vplivom medija začetena z epoksidnim premazom. Elektrode iz hladno valjane 'ice smo predhodno toplotno obdelali (avstenitizacija v začitni atmosferi pri temperaturi  $1050^{\circ}\text{C}$ /1 uro, ohlajanje do sobne temperature). Pred prijetkom vsakega preskusa smo nezačetene dele vseh treh elektrod najprej razmastiili z alkoholom ter jih polirali s korundnim papirjem zrnatosti 600 in diamantno pasto  $3\ \mu\text{m}$ . Preskusi so potekali v kislih in nevtralnih slanih raztopinah. pH vrednosti raztopin so se spremenjale od 6,7 do 1, temperatura je bila vesas konstantna ( $55^{\circ}\text{C}$ ).

Prvi par elektrod (skupna elektroda je bila obremenjena, druga prosta) je tvoril napetostni vir, drugi pa tokovni. Izhodna napetost in tok sta bila predvsem digitalizirana z 12-bitnim oziroma s 16-bitnim A/D-pretvornikom. Resolucija toka je bila 160 nA (3 nA), napetosti pa  $180\ \mu\text{V}$  ( $30\ \mu\text{V}$ ). Dolina izmerjenih asovnih vrst je bila 8192 točk pri merjenju z 12-bitnim in 16384 točk pri merjenju s 16-bitnim A/D-pretvornikom. Hitrost zajemanja podatkov je bila v obeh primerih 2 Hz.

### 3 REZULTATI IN DISKUSIJA

Elektrokemijski čum, ki je bil merjen na 'ici, so generirali različni koroziji procesi na elektrodnih površinah. Značaj korozije je bil odvisen predvsem od dodatka HCl (od 0,05 do 0,5%) v slano raztopino NaCl. V prvih urah izpostave v nevtralni raztopini 3,5% NaCl so se pri izmerjenem elektrokemijskem čumu pojavljale visoke in pogoste napetostne fluktuacije, istočasno generirane tokovne fluktuacije so bile ničje in manj izrazite (slika 1). Različni avtorji<sup>4,5,11,12</sup>, ki so se ukvarjali s temi pojavi, so dokazali, da tak tip fluktuacij generira inicijacija/repasivacija jamic (metastabilno jamišenje). Po-

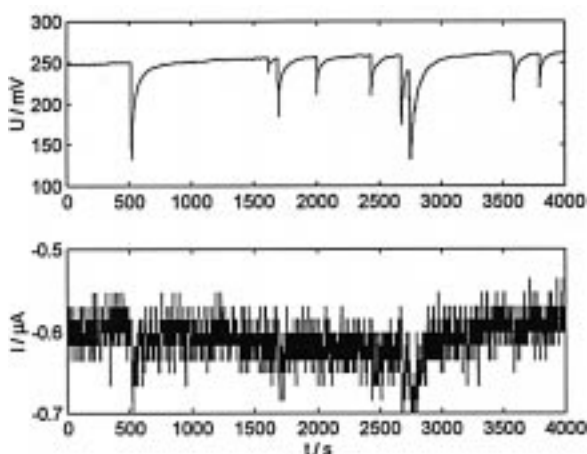


Slika 2: Jami-asta korozija na napeti 'ici v kisli raztopini 3,5% NaCl, 25x

Figure 2: Pitting corrosion on stressed wire in acid 3,5% NaCl solution, 25x

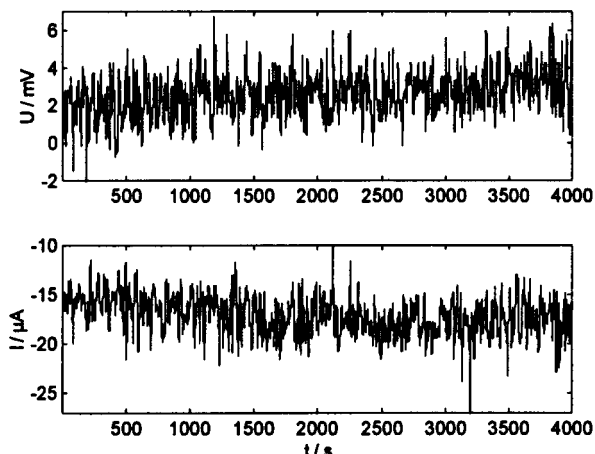
jav prvih stabilnih jamic smo z vizualizacijskim sistemom detektirali približno po prvem tednu izpostave v kisli raztopini 3,5% NaCl (slika 2). Med preskusom sta njihova velikost in tevilo narašala. V kisli raztopini je bila poleg lokalne korozije (na začetku preskusa samo jami-aste) prisotna predvsem splošna korozija.

Proces splošne korozije v kisli raztopini je generiral na elektroda fluktuacije napetostnega in tokovnega elektrokemijskega čuma z visoko amplitudo (slika 3). V tem obdobju preskusa so se najprej občasno, kasneje pa pogosteje, pojavljale ostre konice posameznih signalov. Domnevamo, da so bili ti signali generirani z nastankom razpok<sup>7,9</sup>. Prve razpokane smo na napeti 'ici opazili z optičnim mikroskopom v povezavi z vizualizacijskim sistemom približno dva dni pred pretrgom. Pretrg napete 'ice je povzročil izrazito fluktuacijo obeh: napetostnega in tokovnega čuma (slika 4). Prelomna površina 'ice je



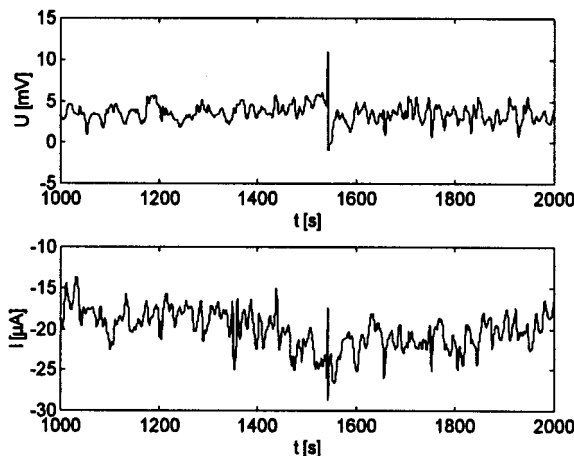
Slika 1: Elektrokemijski čum, merjen na 'ici takoj po izpostavitvi v 3,5% NaCl

Figure 1: Electrochemical noise measured on wires during the first hours in 3,5 % NaCl



Slika 3: Elektrokemijski čum, merjen v kisli raztopini 3,5% NaCl pred pretrgom

Figure 3: Electrochemical noise measured in acid 3,5% solution before the break



Slika 4: Pretrg 'ice detektiran z meritvijo elektrokemijskega čuma  
Figure 4: Electrochemical noise measured during the break occurred in acid NaCl solution

bila krhka, razpoke, ki so nastale na dnu jamic po celotni izpostavljeni površini, so bile lepo vidne na nejedkanem metalografskem obrusu (sliki 5 in 6).

^asovne vrste meritev elektrokemijskega čuma smo transformirali v frekven-ni prostor. Kot je znano ^e iz predhodnih (tudij razli-nih avtorjev<sup>4-6</sup>, je spektralna gostota mo-i tokovnega čuma v vi-jem frekven-nem podro-ju sorazmerna s korozjsko hitrostjo. Iz nagiba krivulje v diagramu log PSD (spektralna gostota mo-i proti log frekvence (Hz)) pa lahko razlikujemo posamezne tipe korozije (tablica 1).

**Tabela 1:** Nagibi krivulj v diagramu log PSD proti log frekvence za ^asovne vrste elektrokemijskega čuma, transformirane v frekven-ni prostor

**Table 1:** Slopes of power-spectra densities of electrochemical noise measured during the test

	$\alpha_U$ (dBV/dekado)	$\alpha_I$ (dBA/dekado)
metastabilno jami-enje	36	*
pred pretrgom	32	39
po pretrgu	29	36

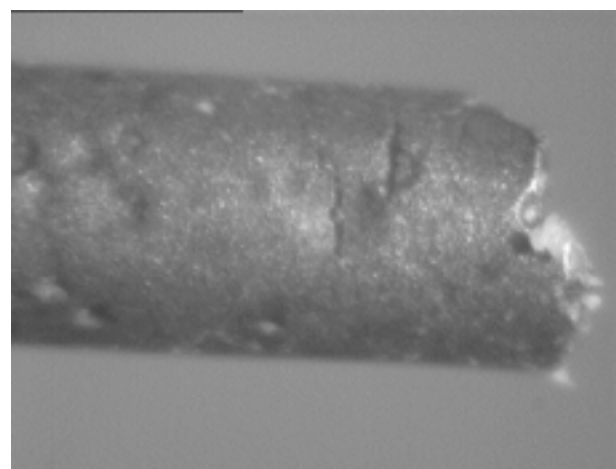
Najve-jji nagib krivulje smo ugotovili pri ^asovni vrsti, izmerjeni v nevtralni raztopini 3,5% NaCl, kar ka^e, da je bila v tem mediju izrazita lokalna korozija. Vrednosti, dobljene za meritvi pred pretrgom in po njem sta ni^ji, pred pretrgom je ta vrednost nekoliko vi^ja kot po pretrgu.

**Tabela 2:** Izra-unane vrednosti korelacijske dimenzije in maksimalnega Lyapunovega eksponenta za izmerjen elektrokemijski čum med razli-nimi korozjskimi procesi

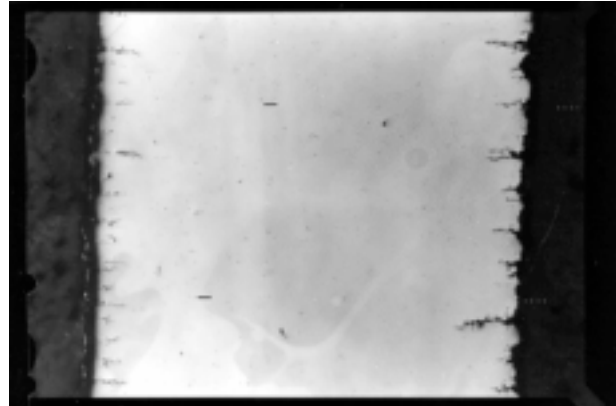
**Table 2:** Correlation dimension and maximum Lyapunov exponent for electrochemical noise generated by different corrosion processes

	korelacijska dimenzija		maksimalni Lyapunov eksponent	
	$D_2$ (napetost)	$D_2$ (tok)	$\lambda_U$ (napetost)	$\lambda_I$ (tok)
metastabilno jami-enje	1,760,2		0,1060,05	
pred pretrgom	5,260,2	3,760,2	0,2260,03	0,2260,05
po pretrgu	5,660,2	4,060,2	0,3060,01	0,5660,02

\* Opomba: Zaradi slabe lo-ljivosti tokovnega čuma izmerjenega v prvih dneh v nevtralni raztopini NaCl, nismo mogli izra-unati vrednosti korelacijske dimenzije in maksimalnega Lyapunovega eksponenta.

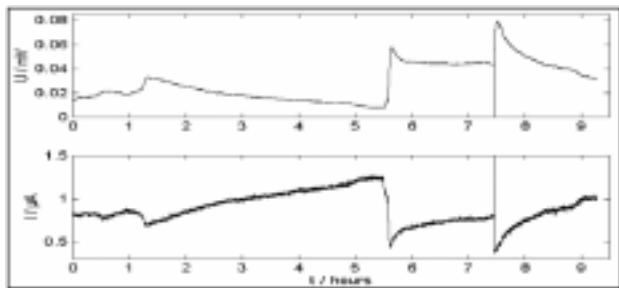


Slika 5: Prelom napete 'ice, 35x  
Figure 5: Fracture of stressed wire, 35x



Slika 6: Metalografski posnetek nejedkanega prereza 'ice po pretrgu, 60x  
Figure 6: Metallography of unetched longitudinal cross section after break, 60x

Ker na mehanizme korozjskih procesov vplivajo ^tevilni parametri in samo spektralna analiza ne daje dovolj zanesljivih podatkov o tipu korozije, smo za analizo ^asovnih vrst uporabili tudi nekatera matemati-na orodja, poznana iz kaosa<sup>4-6,13-16</sup>. Rekonstruirali smo atraktorje merjenega elektrokemijskega čuma ter ugotovili njihove stati-ne karakteristike (korelacijska dimenzija) in dinami-ne karakteristike (maksimalni Lyapunov eksponent), ti podatki so zbrani v Tablici 2.



Slika 7: Elektrokemijski čum, merjen na vzorcu iz plo-evine v neutralni raztopini 3,5% NaCl

Figure 7: Electrochemical noise measured on thin sheet during the exposure in neutral NaCl solution

Dimenzionalnost atraktorja se navezuje na najmanj{ tevilo spremenljivk, ki vplivajo na pripadajo-i dinami-ni sistem (imenujemo jih tudi prostostne stopnje sistema). Maksimalni Lyapunov eksponent dolo-a povpre-no hitrost divergence sosednjih trajektorij v faznem prostoru, karakterizira dinami-ne lastnosti sistema oz. ugotavlja, kako nepredvidljiv je sistem v odvisnosti od za-etnih pogojev.

Korelacijska dimenzija, ki smo jo izra-unali za proces iniciacije/repasivacije jamic je veliko ni'ja od dimenzijs, izra-unanih za koroziskske procese, ki so se dogajali pred pretrgom in po njem. Najvijo vrednost korelacijske dimenzije smo dobili za proces po pretrgu. Prav tako smo za to -asovno vrsto izra-unali najve-ji maksimalni Lyapunov eksponent. Razlike v izra-unanih vrednostih med korelacijskimi dimenzijsami ter prav tako med maksimalnim Lyapunovim eksponentom pred pretrgom in po njem, so majhne. Vrednosti dimenzijs, izra-unanih za -asovne vrste pred pretrgom so nekoliko manj{e. To lahko pomeni, da je stopnja lokalnosti pred pretrgom vija, kar je v skladu s prisotnostjo napetostno koroziskskega pokanja v tem obdobju. Na posnetkih povr{ine napete 'ice po pretrgu je vidna mno'ica razpok, vendar so fluktuacije, generirane z iniciacijo razpok, v primerjavi z mno'ico fluktuacij, ki jih je generirala splo{na korozija, redke.

^asovna vrsta za elektrokemijski čum, ki smo ga merili na vzorcih iz plo-evine samo v neutralni raztopini 3,5% NaCl, je prikazana na sliki 7. Narava tega koroziskskega procesa, kjer ni prisotna splo{na korozija, je v primerjavi s -asovnimi vrstami, ki so bile izmerjene v kislih raztopinah, popolnoma druga-na. Fluktuacije elektrokemijskega čuma imajo bistveno ni'jo amplitudo, vendar so zato dogodki v -asovni vrsti dobro vidni.

Pribli'no dve uri pred pretrgom smo detektirali ostro fluktuacijo napetostnega in tokovnega čuma, ki jo je najverjetnej generiral nastanek razpokane. Sledil ji je padec tokovnega in nara-anje napetostnega čuma (nekaj minut), kar je zna-ilno za proces repasivacije (v na{em primeru je bila to repasivacija nastalih sten razpokane). Od tega dogodka naprej pa do kon-nega pretrga, ki je generiral nenasadno fluktuacijo elektrokemijskega čuma, je tok po-asi in enakomerno nara-al, napetost pa padala. Pred-

videvamo, da se je v tem obdobju razpoka odtapljal. Pri natan-nem pregledu po pretrgu nismo na{li na povr{ini elektrode nobene druge razpokane.

#### 4 SKLEPI

Rezultati na{ega dela so potrdili mo'nost prepoznavanja nekaterih koroziskskih procesov (jam-asta korozija, splo{na korozija, iniciacija razpok) z metodo elektrokemijskega čuma. Pri tem {tudiju smo se posvetili predvsem meritvam in analizi signalov elektrokemijskega čuma, ki jih generira napetostna korozija. Izkazalo se je, da v prisotnosti splo{ne korozije detekcija nastanka in rasti razpok ni zanesljiva, medtem ko so ti procesi v neutralni raztopini NaCl dobro vidni. Resolucija na{ega vizualizacijskega sistema je bila preslab, da bi z njim lahko detektirali iniciacije razpok. Zato je bilo nemogo-e primerjati signale elektrokemijskega čuma, ki je bil merjen v obdobju pred pretrgom, ko je bila prisotna napetostna korozija, s posnetki elektrodnih povr{in.

Za analizo elektrokemijskega čuma, generiranega z razli-nimi koroziskskimi procesi, se je pri ugotavljanju razlik med dolo-enimi tipi korozije izkazala kaoti-na analiza za primernej{o od spektralne. Rezultati obeh analiz ka'ejo, da je stopnja lokalizacije pred pretrgom, ko je bila prisotna napetostna korozija, ve-ja. Iz rezultatov kaoti-ne analize izmerjenih -asovnih vrst tik pred pretrgom lahko re-emo, da je proces napetostne korozije nepredvidljiv - kaoti-en.

Vendar pa iz rezultatov kaoti-ne analize (kon-na korelacijska dimenzija, pozitiven Lyapunov eksponent) nismo natan-no ugotovili razlik med procesi iniciacije in rasti razpok.

#### 5 REFERENCE

- <sup>1</sup>K. Hladky, J. L. Dawson, *Corrosion*, 22 (1982) 231
- <sup>2</sup>K. Hladky, J. L. Dawson, *Journal of the Electrochemical Society*, 135 (1988) 1908
- <sup>3</sup>U. Bertocci, *Journal of the Electrochemical Society*, 128 (1981) 529
- <sup>4</sup>A. Legat, V. Dole-ek, Chaotic Analysis of Electrochemical Noise Measured on Stainless Steel, *Journal of the Electrochemical Society*, 142 (1995) 1851
- <sup>5</sup>A. Legat, V. Dole-ek, Corrosion Monitoring System Based on Measurement and Analysis of Electrochemical Noise, *Corrosion*, 51 (1995) 4, 295-300
- <sup>6</sup>A. Legat, E. Govekar, A Comparision of Spectral and Chaotic Analysis of Electrochemical Noise, *Electrochemical Noise Measurement for Corrosion Applications*, American Society for Testing and Materials Publication, STP 1277, Philadelphia, 1996, 129
- <sup>7</sup>C. A. Loto, R. A. Cottis, *Corrosion*, 43 (1987) 8, 499-504
- <sup>8</sup>C. A. Loto, R. A. Cottis, Electrochemical Noise Generation during SCC of a High-Strength Carbon Steel, *Corrosion*, 46 (1990) 1, 12-19
- <sup>9</sup>B. Malki, A. Legris, J. L. Pastol, D. Grose, Stress Corrosion Cracking of Cu<sub>3</sub>Au in Sulfuric Acid Solution, by Coupling Strain Rate Tests and Electrochemical Noise Measurements, *EUROCORR 96*, IV P 18-8, Nica, 1996
- <sup>10</sup>R. C. Newman, *Corrosion*, 50 (1994) 9, 682
- <sup>11</sup>C. Boulleter, D. Grose, B. Baroux, *EUROCORR 96*, VIII OR 12-1, Nica, 1996

- <sup>12</sup>S. T. Pride, J. R. Scully, J. L. Hudson, Analysis of Electrochemical Noise from Metastable Pitting in Aluminium, Aged Al-2% Cu, and AA 2024-T3, *Electrochemical Noise Measurement for Corrosion Applications*, American Society for Testing and Materials Publication, STP 1277, Philadelphia, 1996, 307
- <sup>13</sup>A. Tsionis, *Chaos - From Theory to Applications*, Plenum Press, New York, 1992
- <sup>14</sup>P. R. Roberge, *Corrosion*, 50 (1995) 241
- <sup>15</sup>M. R. Bassett, J. L. Hudson, *Journal of Physical Chemistry*, 93 (1989) 1989
- <sup>16</sup>S. Corcoran, K. Sieradzki, *Journal of Electrochemical Society*, 139 (1992) 1568